



Микромир и Вселенная 2018

ОБРАЗОВАНИЕ АТОМНЫХ ЯДЕР

t ≈ 1 с: начало нуклеосинтеза

t ≈ 1 с: T ≈ 10¹⁰ K; E ≈ 1 МэВ

- Реакция слияния с образованием дейtronов:

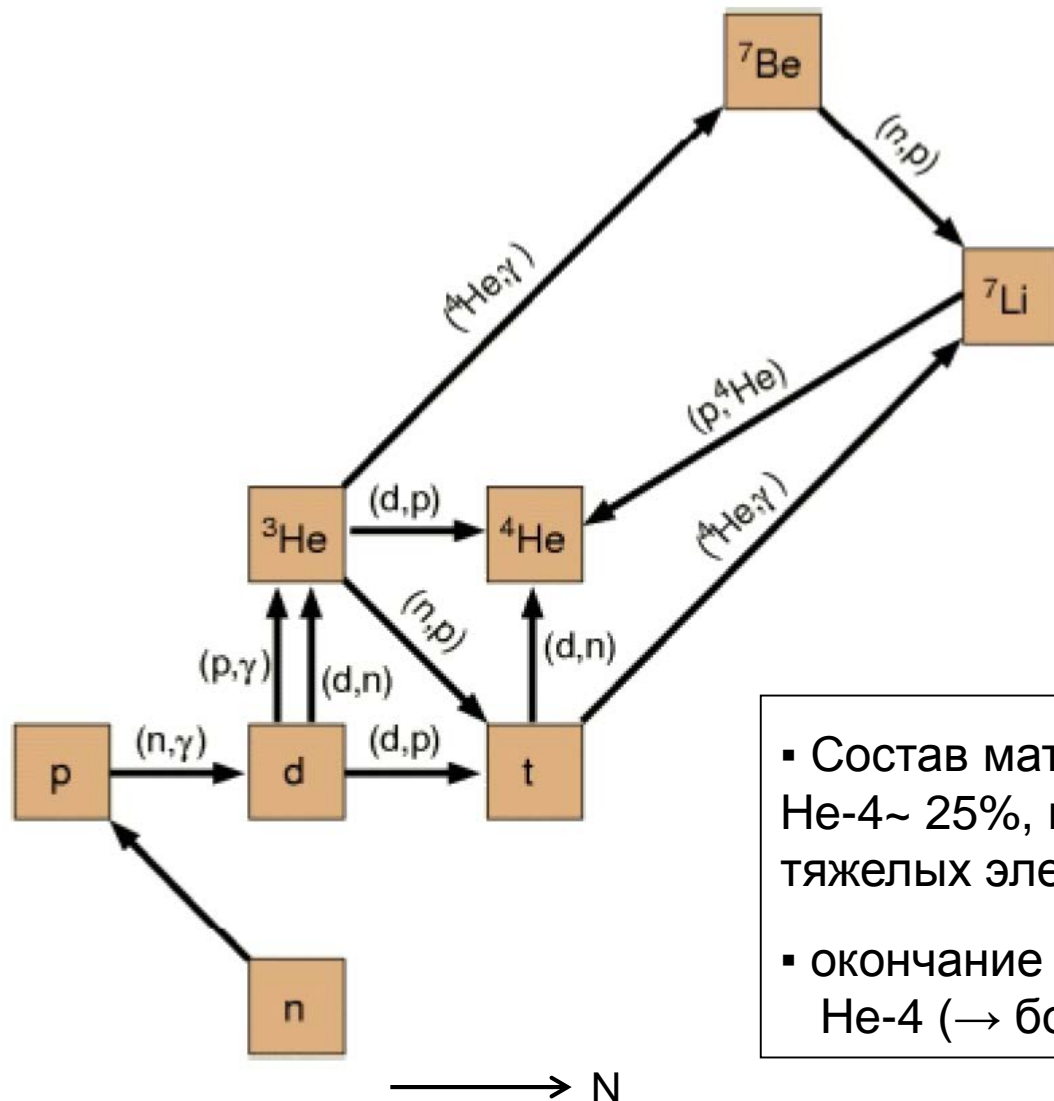


→ распад дейtronов под действием фотонов $E \geq 2.23 \text{ MeV}$

t ≈ (1 – 400) с; T ~ 10⁹ K; E ~ 0.1 МэВ

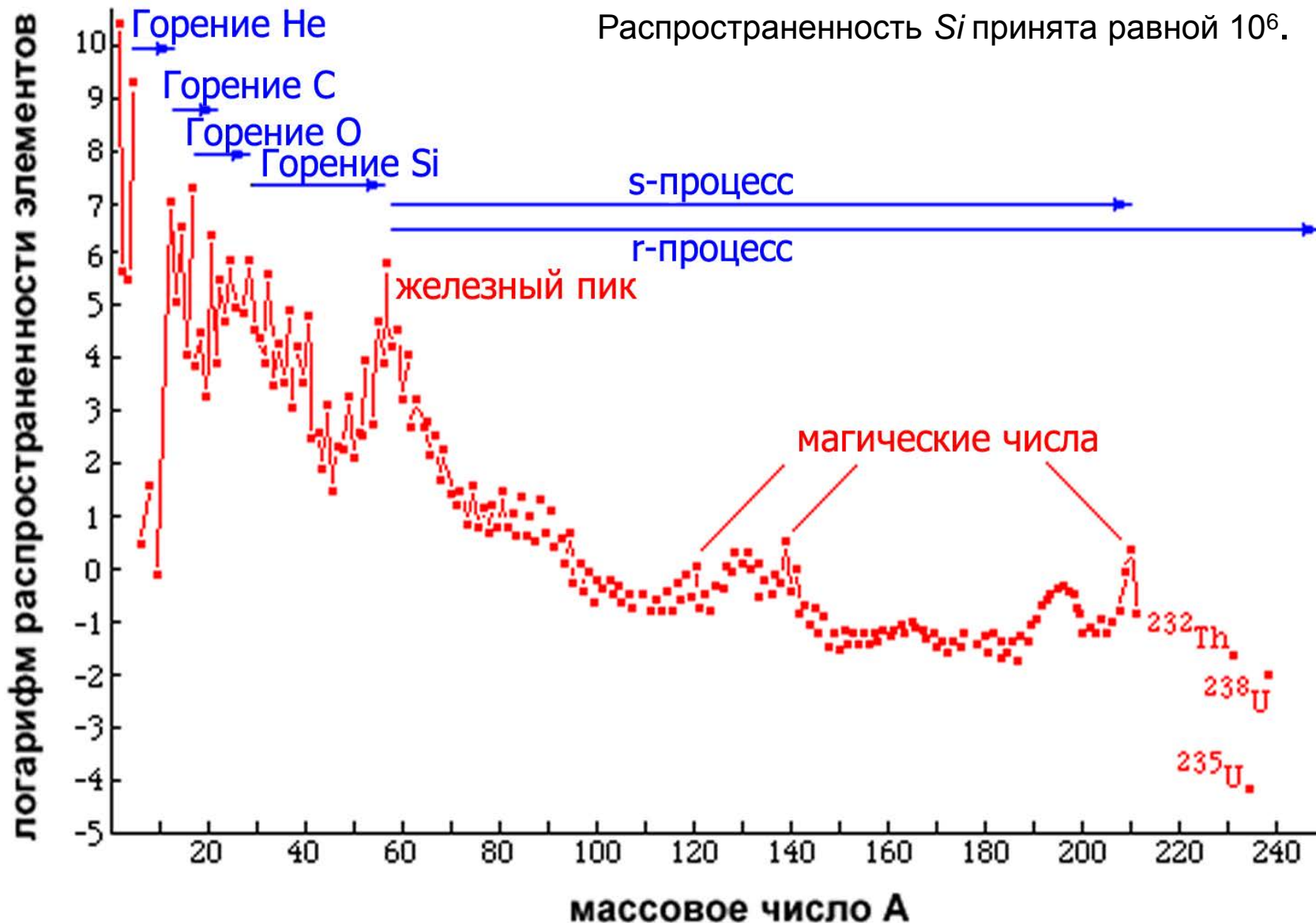
- в процессе расширения и охлаждения Вселенной число фотонов $E > 2 \text{ MeV}$ уменьшается, процесс распада дейtronов прекращается
→ скорость расширения ранней Вселенной является важным параметром для Начальной стадии нуклеосинтеза („первичный нуклеосинтез“)
- При значительном уменьшении числа высокоэнергетических фотонов становится возможен синтез ядер с $A > 2$ в результате реакций слияния

$t \approx 5$ минут: окончание первичного нуклеосинтеза

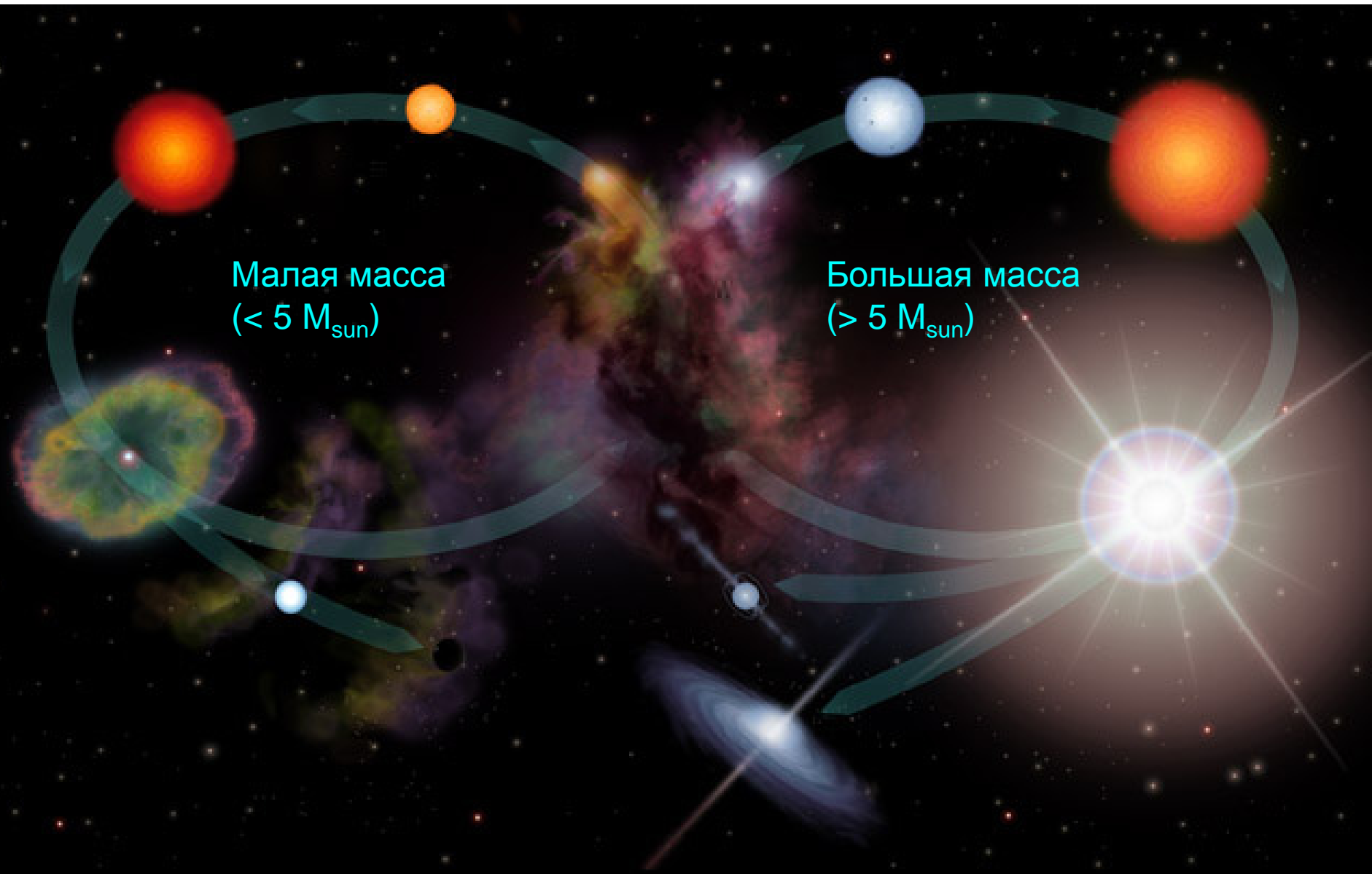


- Состав материи:
Не-4~ 25%, протоны~ 75%; следы более тяжелых элементов
- окончание всех ядерных реакций:
Не-4 (\rightarrow большая энергия связи)

Распространенность нуклидов во Вселенной



Жизненный цикл звезды



Жизненный цикл звезды



Жизненный цикл звезды

Звездный нуклеосинтез

2. Главная последовательность

1 & 6.
Газопылевое
облако

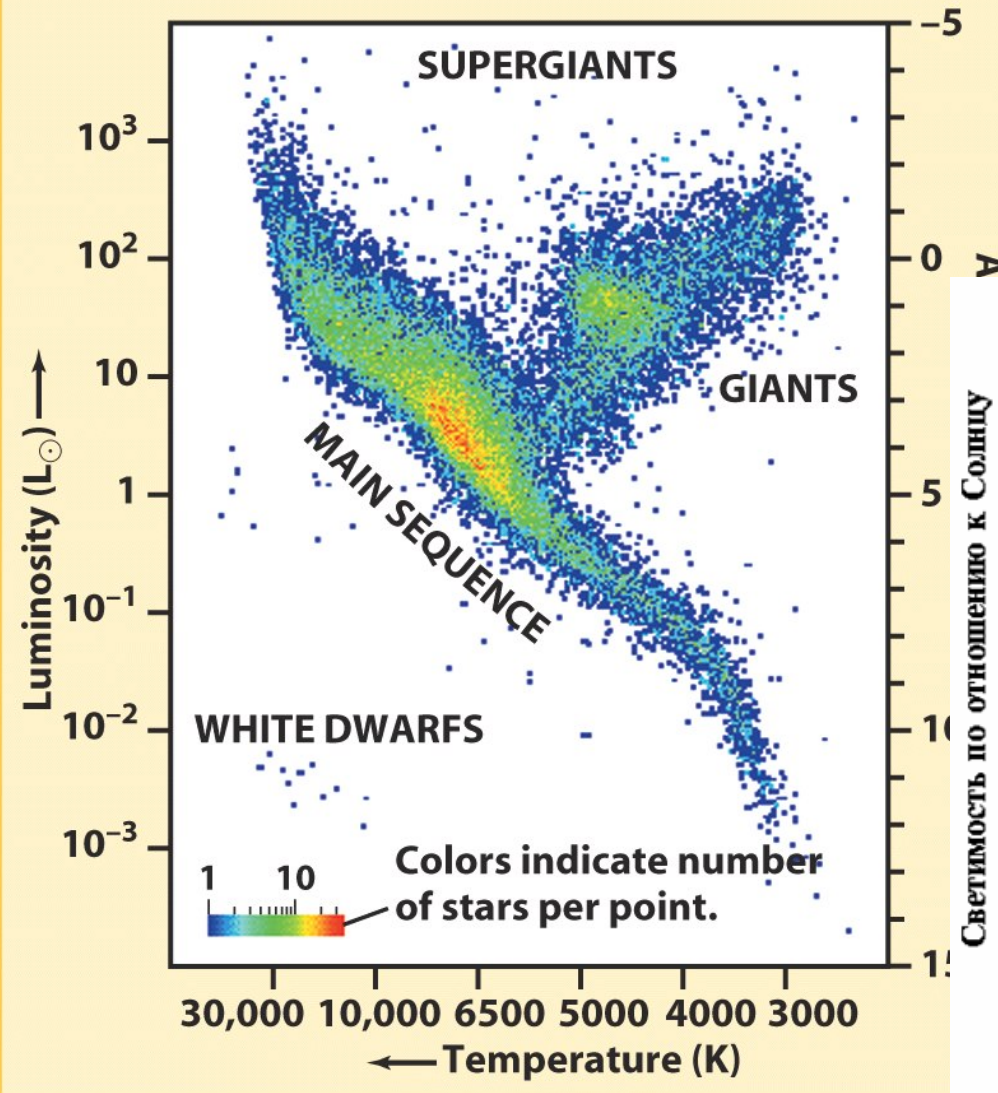
3. Красный гигант /
Супергигант
Большая
масса ($>5 M_{\text{sun}}$)

5. Нейтронная
звезда

4. Сверхновая

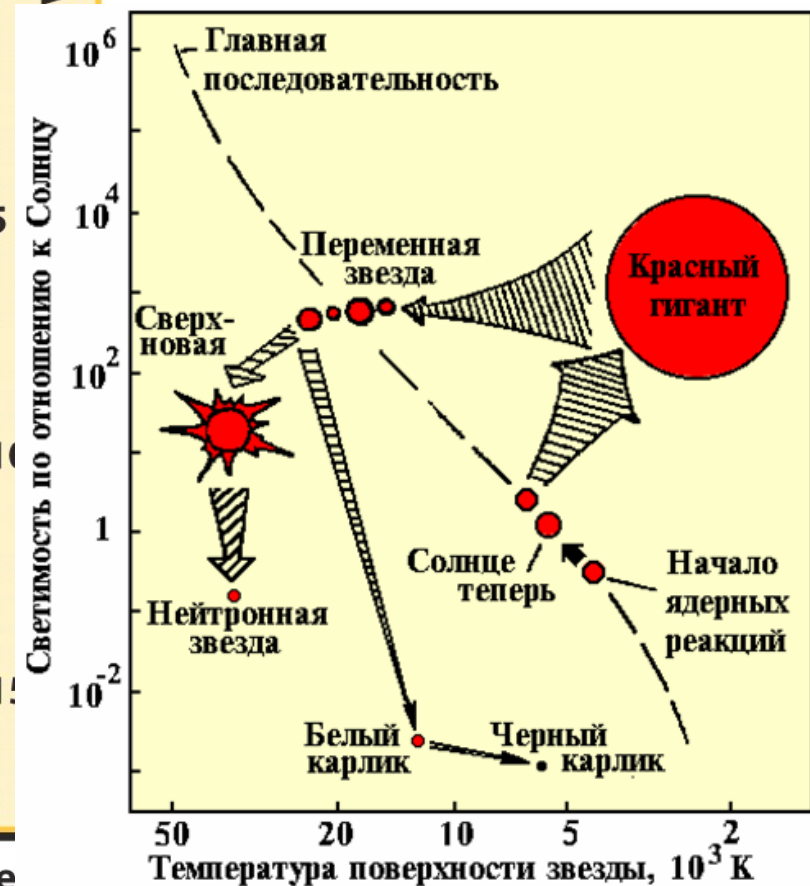
5. Черная дыра

Диаграмма Герцспрунга -Рассела

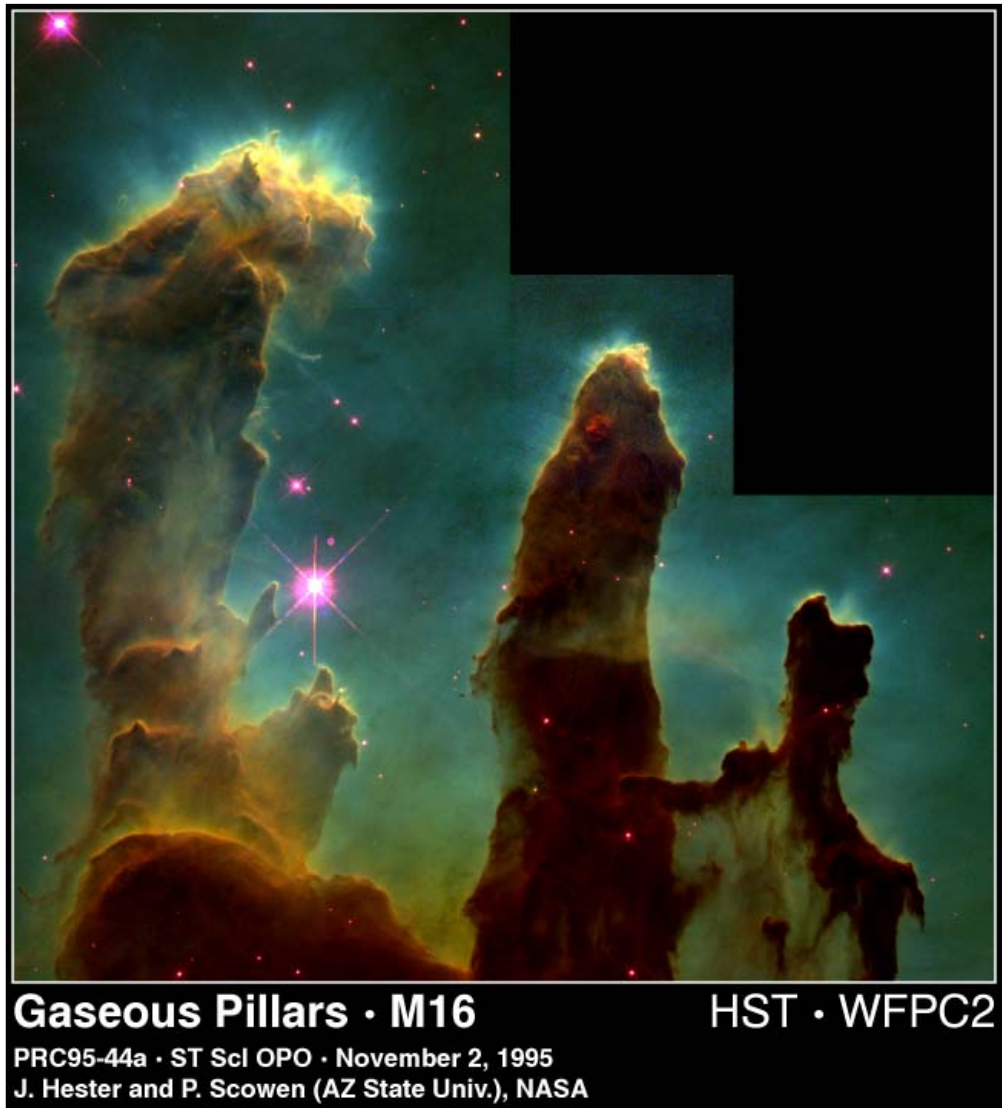


H-R diagram of 20,853 stars—note the width of the main sequence

$$L \sim M^{3.5}$$



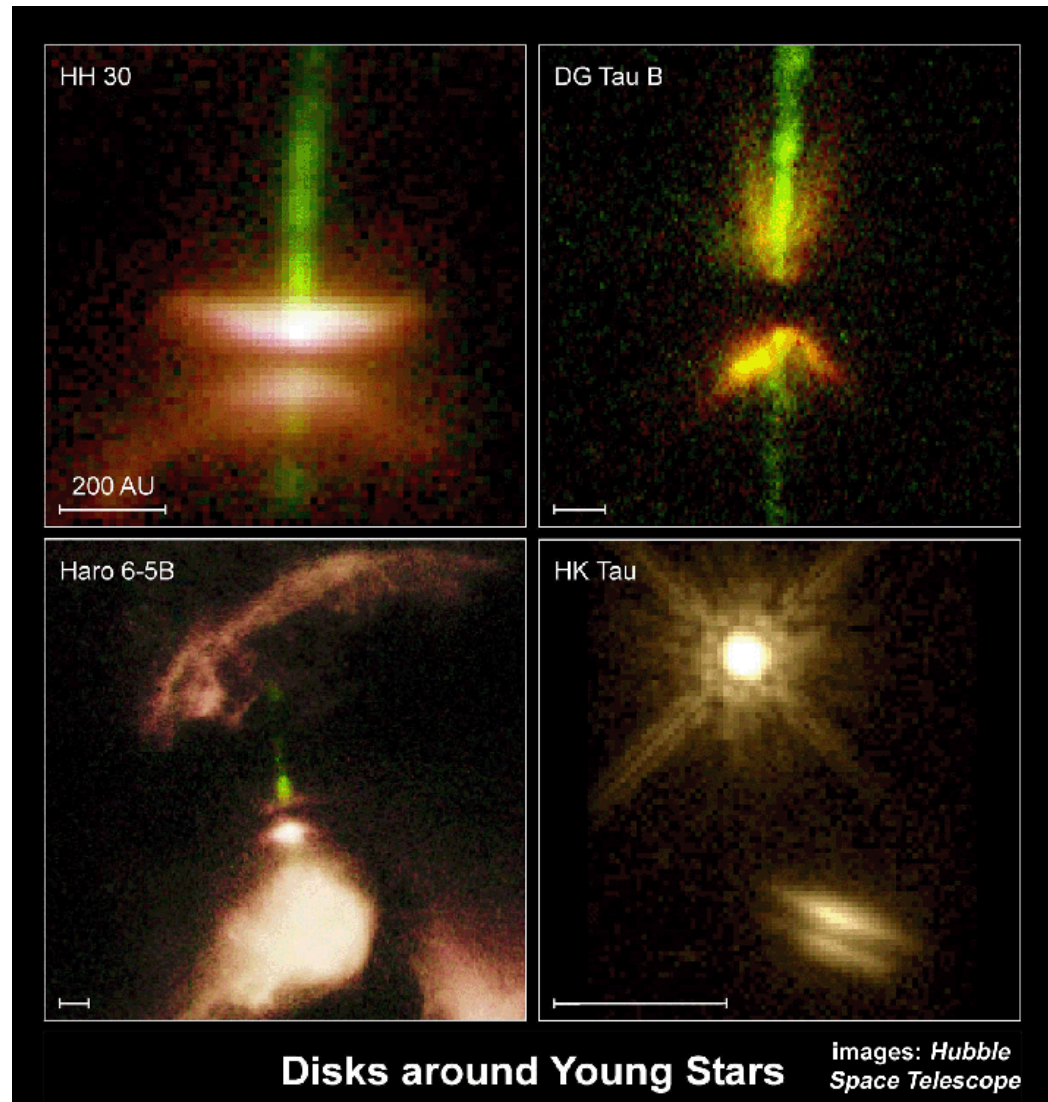
Звездная пыль: где все начинается



Созвездие Ориона.
Туманность Голова лошади

Созвездие Змеи.
Туманность Орел.
Столпы творения

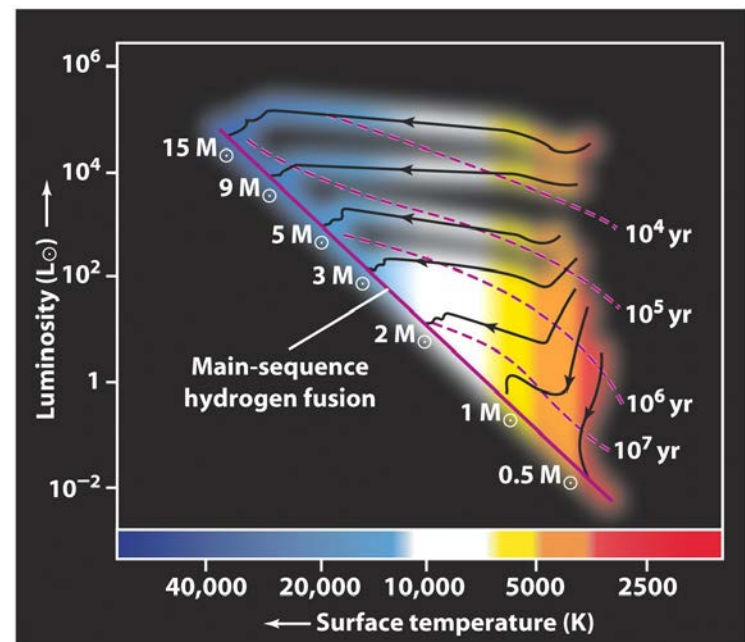
Протопланетный диск. Протозвезда

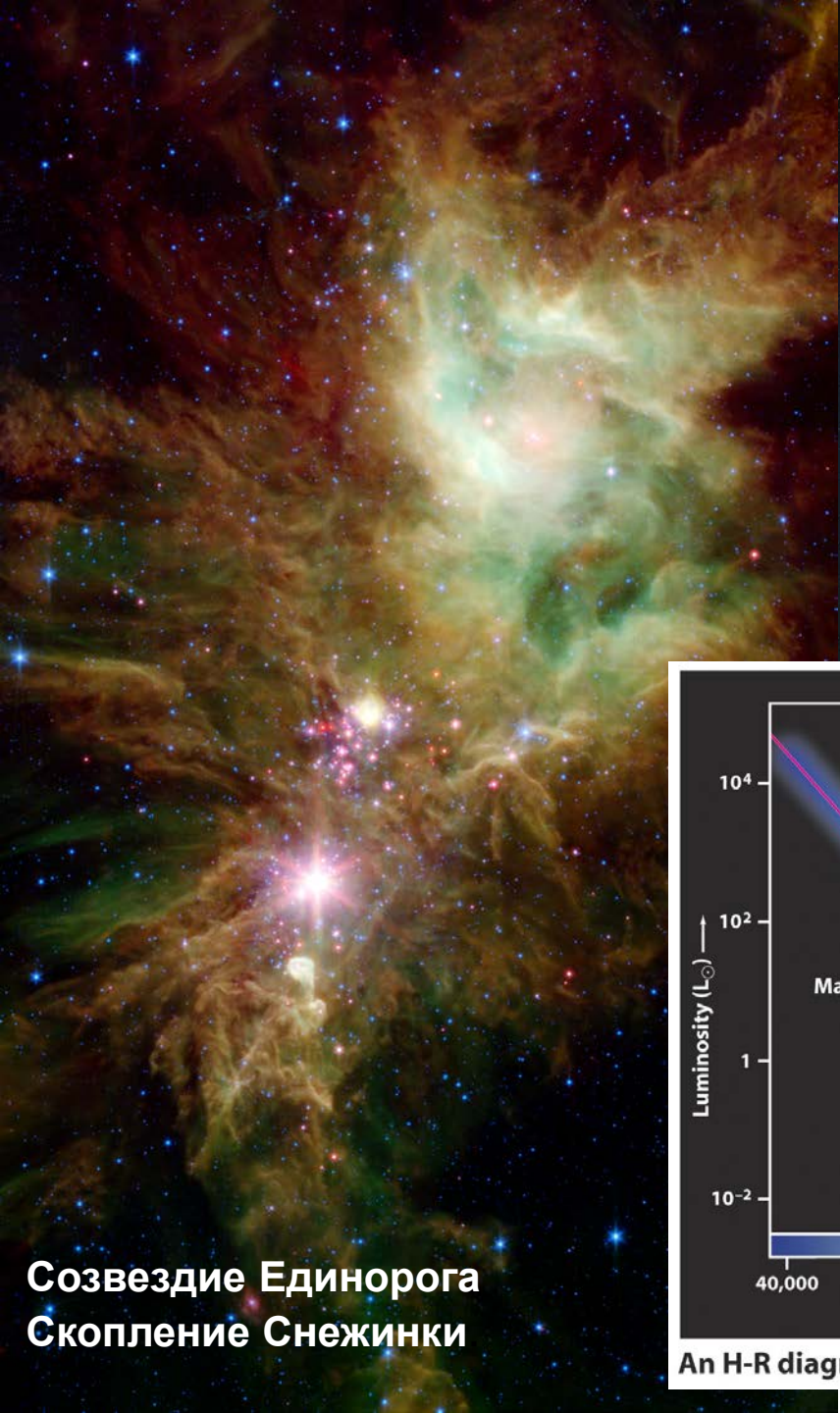


Коллапс фрагментов газопылевого облака

~ 10^5 до 10^7 лет,
В зависимости от массы

Стадия протозвезды ~ 10^6 лет





Созвездие Единорога
Скопление Снежинки

Созвездие Тельца Плеяды

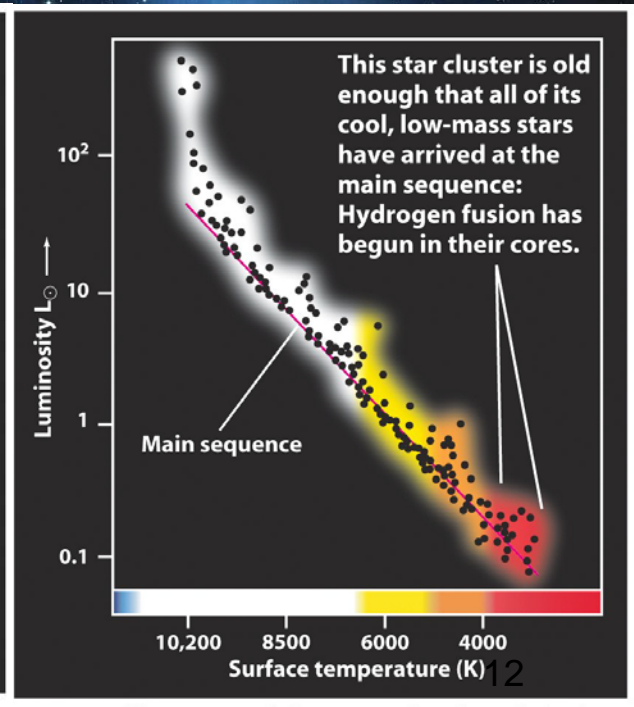
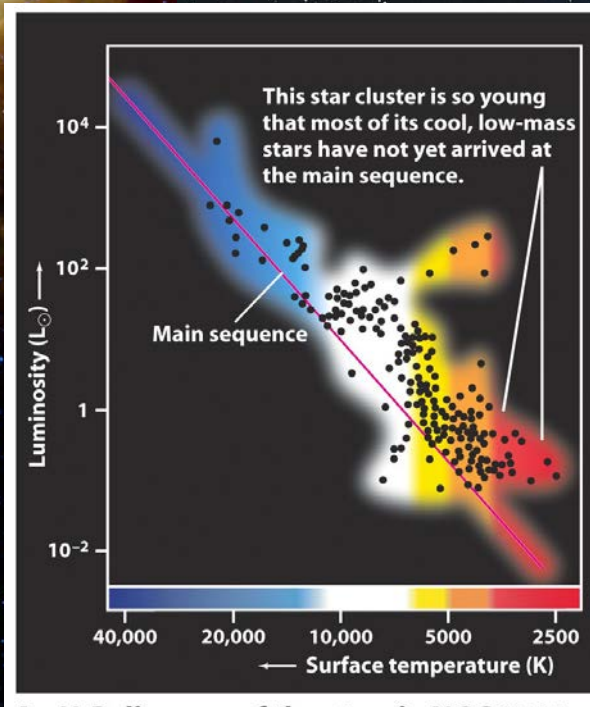
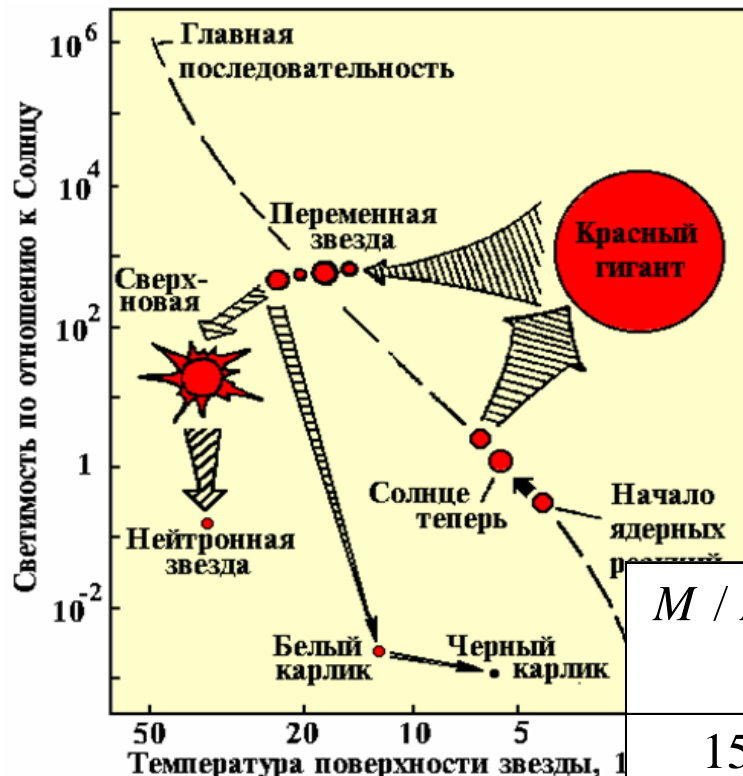


Диаграмма Герцшпрунга-Рассела



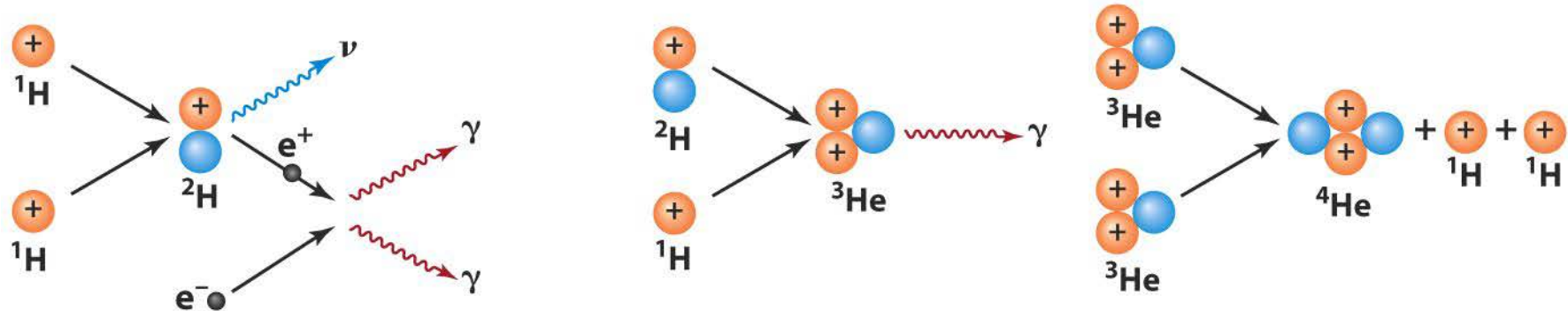
$$L \sim M^{3.5}$$

M / M_{\odot}	Время достижения главной последовательности, лет	Время жизни на главной последовательности, лет
15	$6,2 \cdot 10^4$	$1,0 \cdot 10^7$
9	$1,5 \cdot 10^5$	$2,2 \cdot 10^7$
5	$5,8 \cdot 10^5$	$6,8 \cdot 10^7$
3	$2,5 \cdot 10^6$	$2,3 \cdot 10^8$
1,5	$1,8 \cdot 10^7$	$1,7 \cdot 10^9$
1,0	$5,0 \cdot 10^7$	$8,2 \cdot 10^9$
0,5	$1,5 \cdot 10^8$	$5,0 \cdot 10^{10}$

Главная последовательность

Звезды «зажигаются» с началом реакций термоядерного синтеза

На главной последовательности – только pp-цикл или CNO цикл ($M > 1.1 M_{\text{Sun}}$)



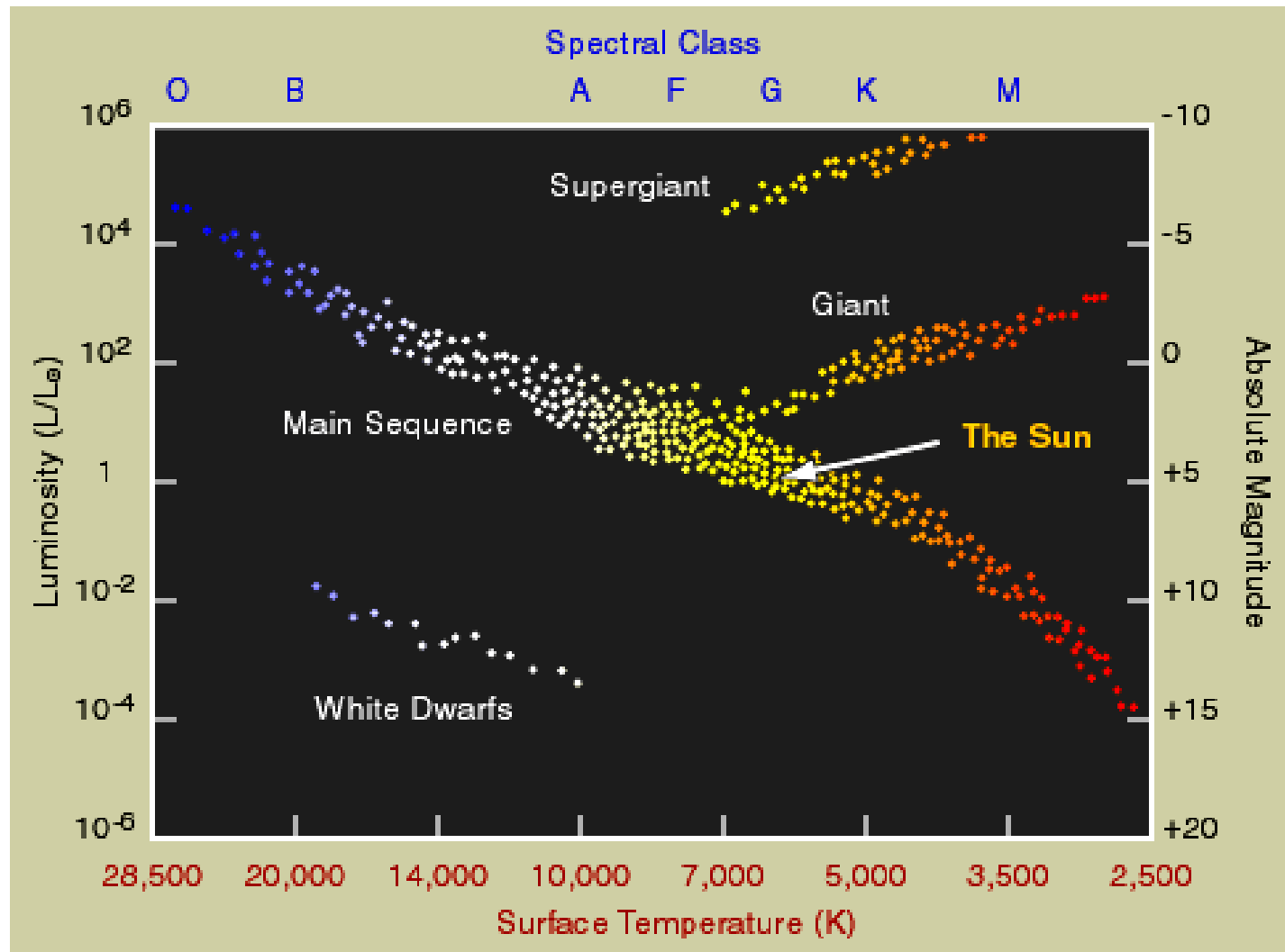
Время жизни на главной последовательности =
= горючее / скорость выгорания $\sim M / L \sim M / M^{3.5}$

$$\text{время жизни} \sim 1/M^{2.5}$$

Звезда в 4 раза тяжелее Солнца проведет на главной последовательности времени в 32 раза меньше

Диаграмма Герцшпрунга-Рассела

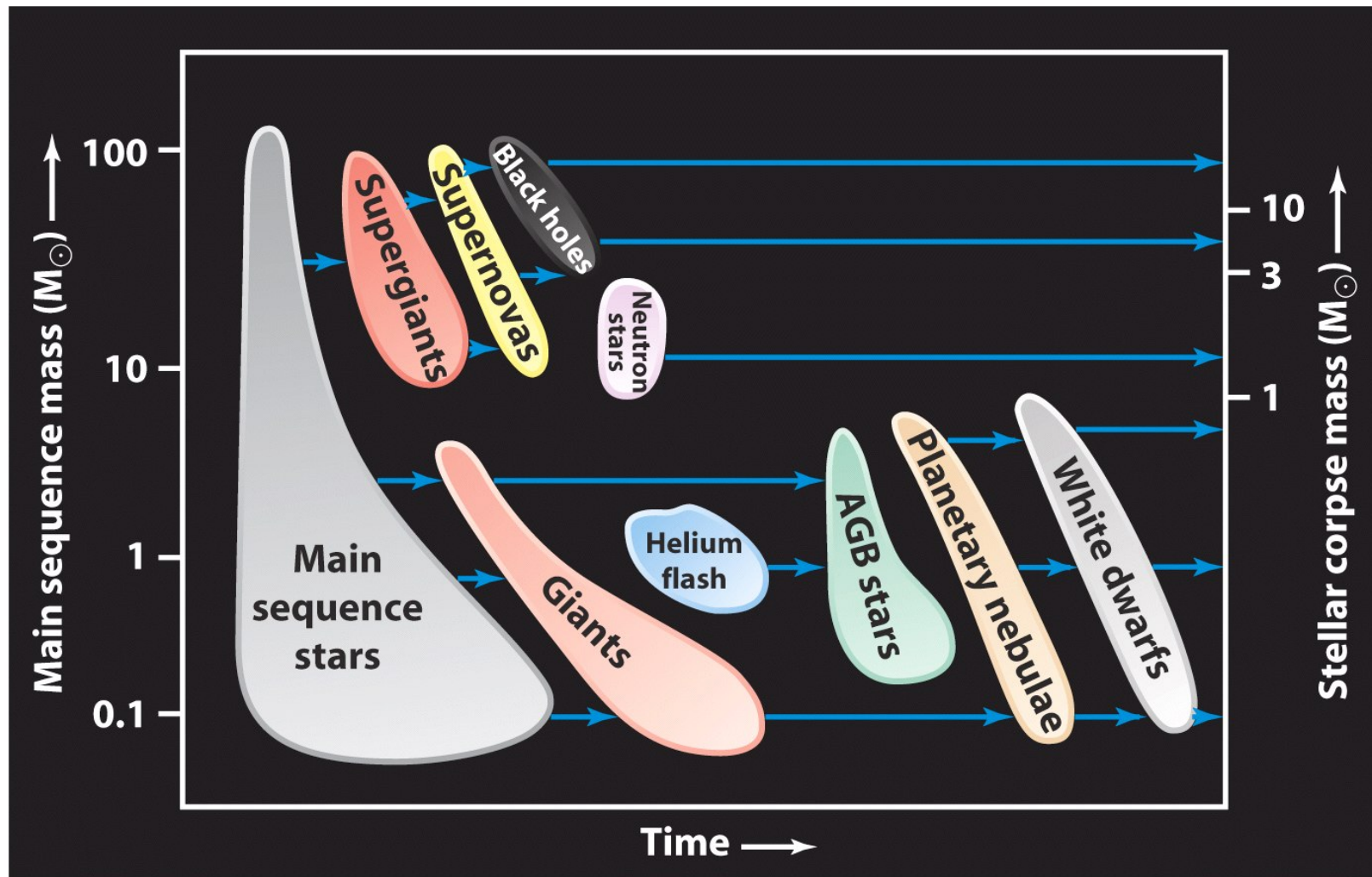
Главная последовательность



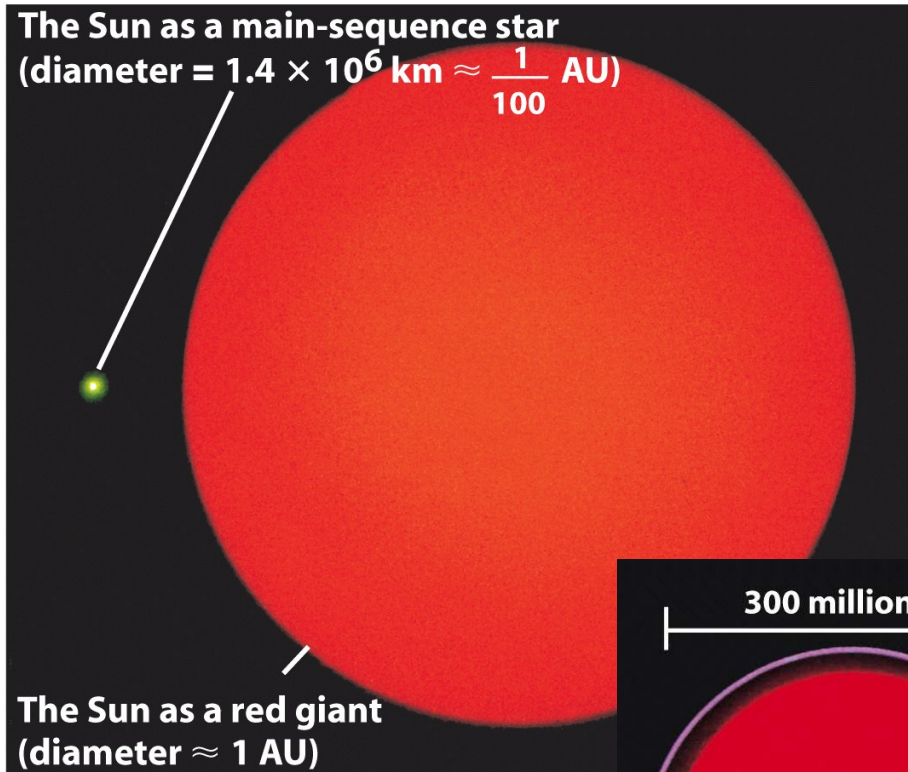
Спектральные классы звезд

Обозначение класса звезд	Характерный признак спектральных линий	Температура поверхности, К
O	Ионизованный гелий	> 30 000
B	Нейтральный гелий	11 000 - 30 000
A	Водород	7 200 - 11 000
F	Ионизованный кальций	6 000 - 7 200
G	Ионизованный кальций, нейтральные металлы	5 200 - 6 000
K	Нейтральные металлы	3 500 - 5200
M	Нейтральные металлы, полосы поглощения молекул	< 3 500
R	Полосы поглощения циана (CN) ₂	< 3 500
N	Углерод	< 3 500

Что будет дальше – зависит от массы звезды

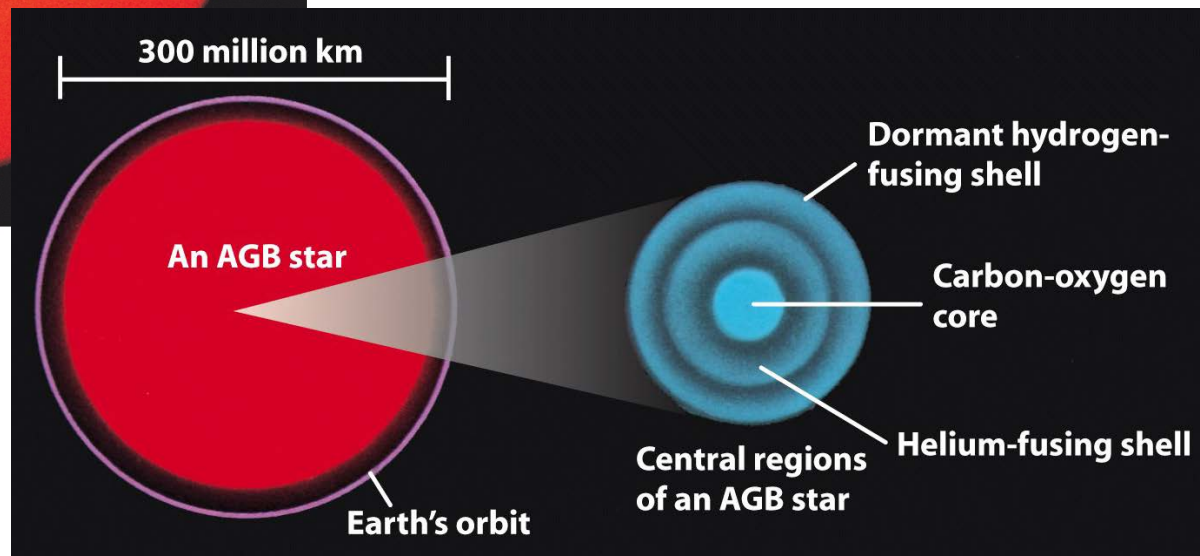


Звезды малой массы $M < 5M_{\text{Sun}}$



Солнце сегодня и на стадии
Красного гиганта
Кор He и оболочка H (горение p)

Отличаются положением на
диаграмме Герцшпрунга-Рассела
и внутренней структурой

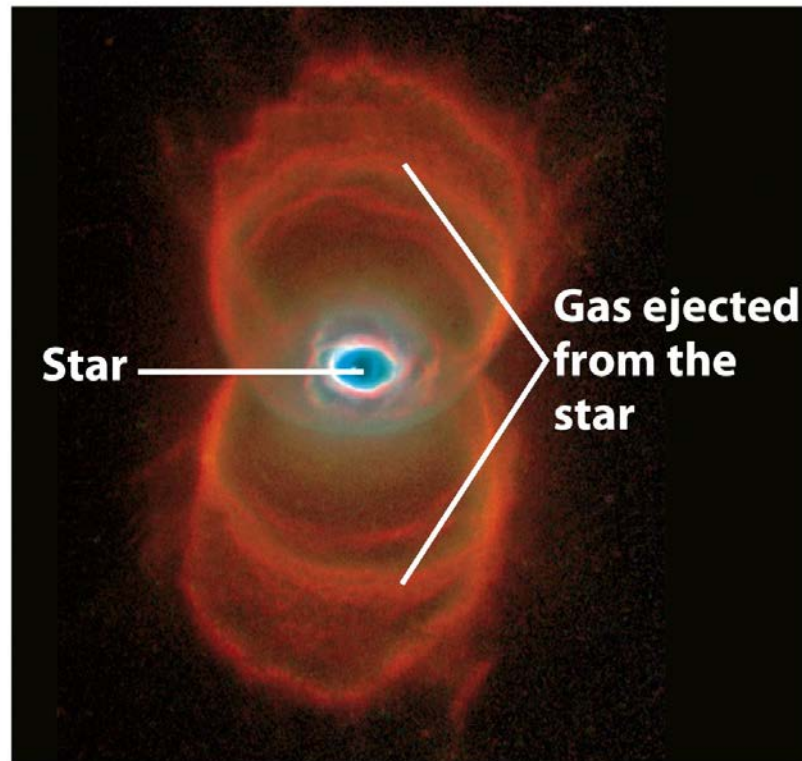


Звезды малой массы $M < 5M_{\text{Sun}}$

Планетарная туманность → белый карлик



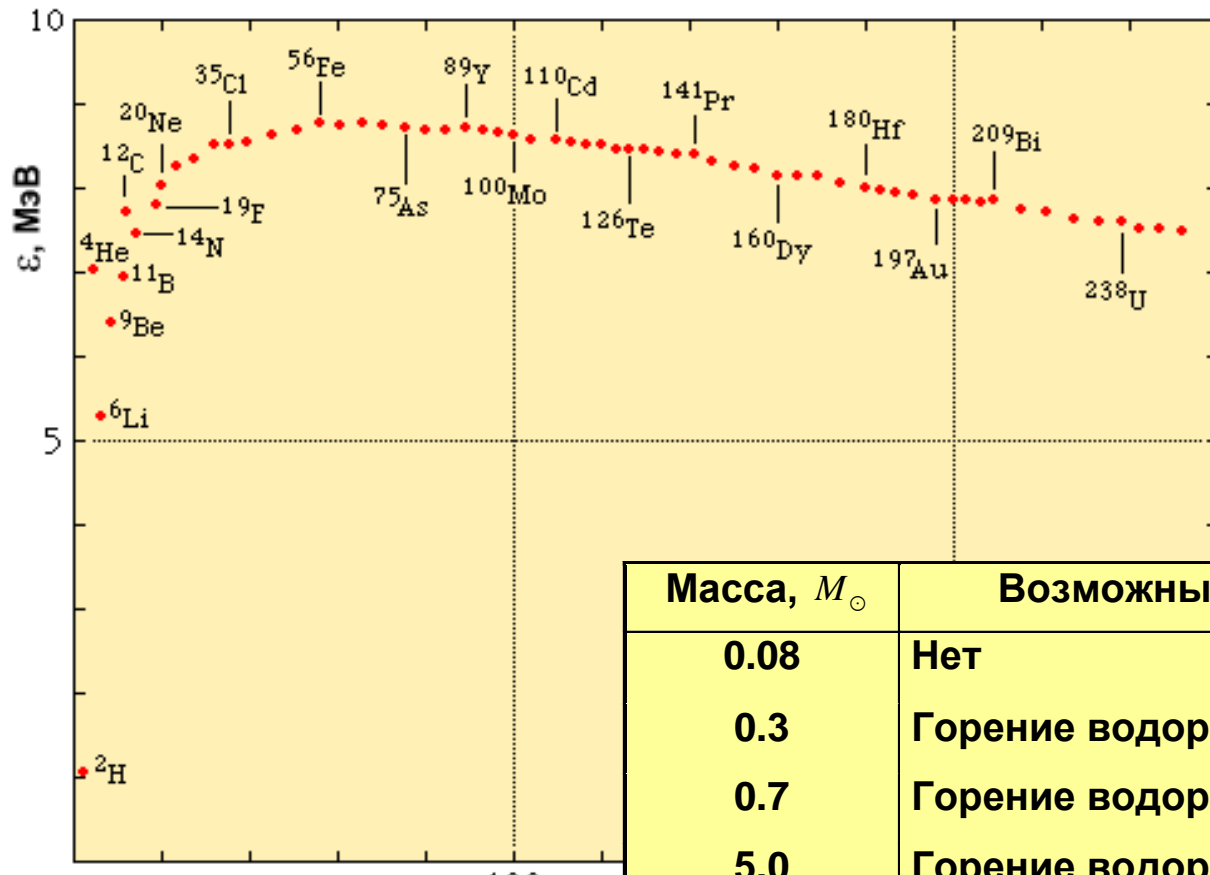
Созвездие Водолея.
Туманность Улитка.



Созвездие Муха.
Туманность Песочные часы.

Важно: планетарная туманность (У. Гершель, 1780 г) не имеет отношения к планетам ☺

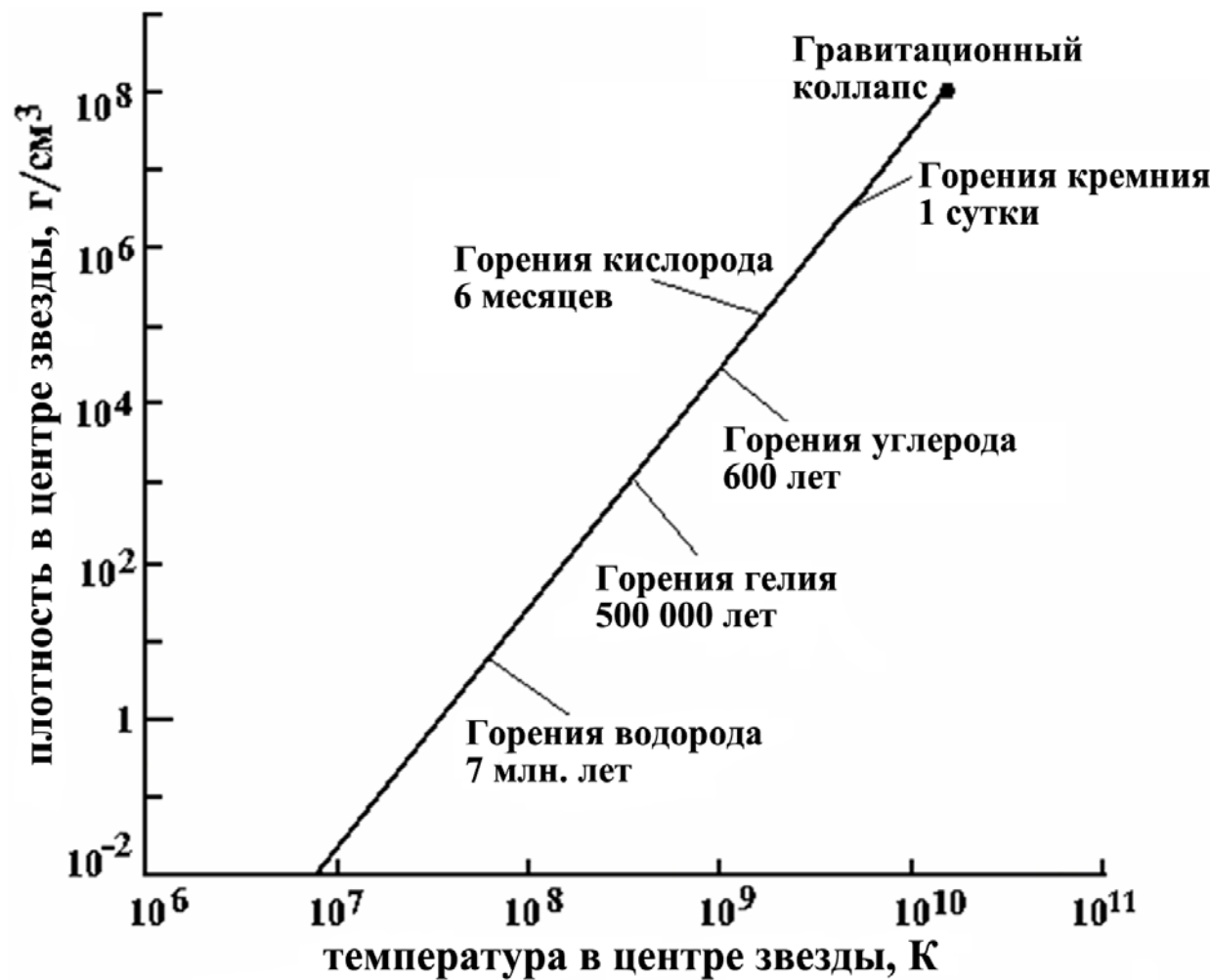
Удельная энергия связи ядра $\epsilon(A,Z)$



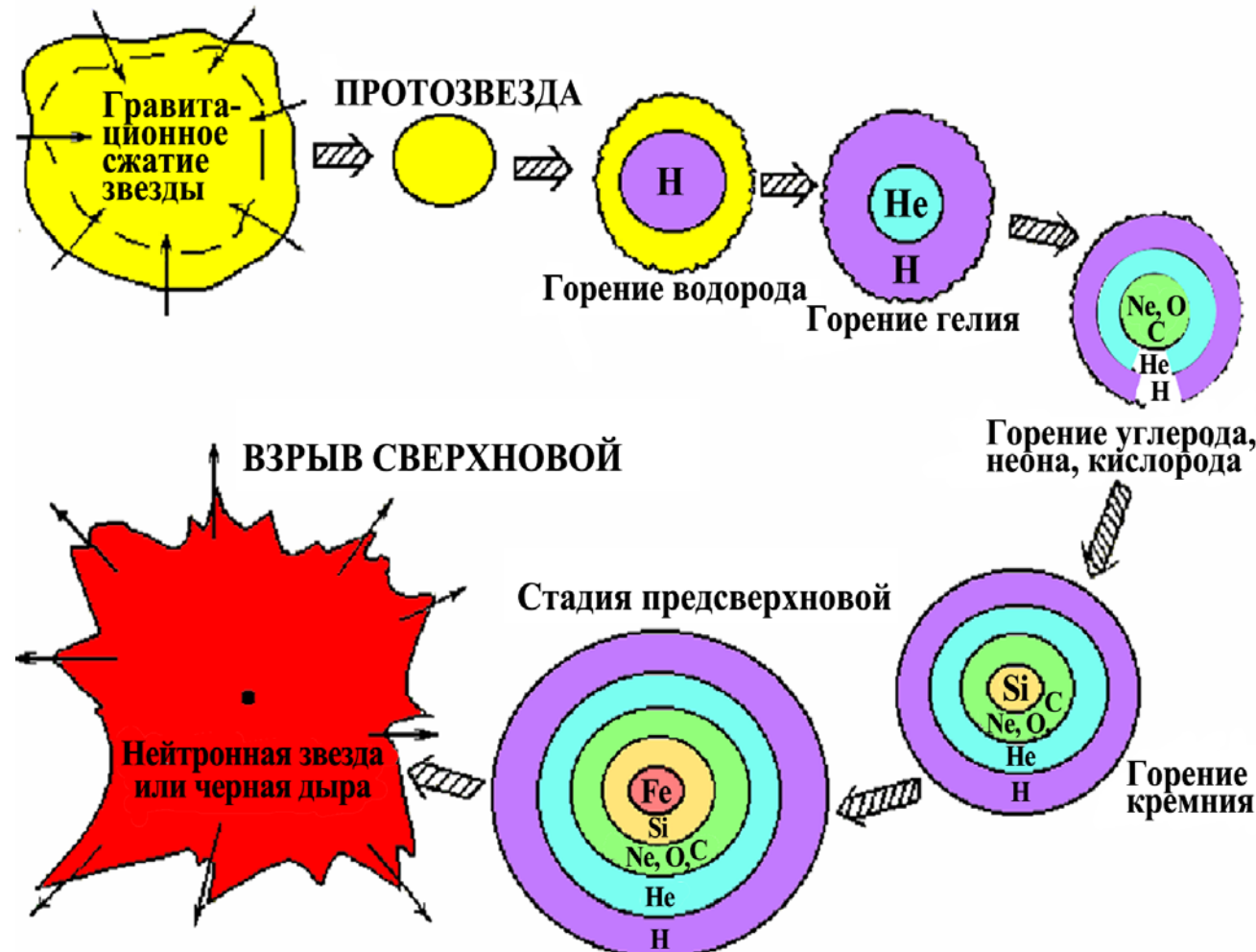
Масса, M_\odot	Возможные ядерные реакции
0.08	Нет
0.3	Горение водорода
0.7	Горение водорода и гелия
5.0	Горение водорода, гелия, углерода
25.0	Все реакции синтеза с выделением энергии

Ядерные реакции синтеза
в звёздах различной массы

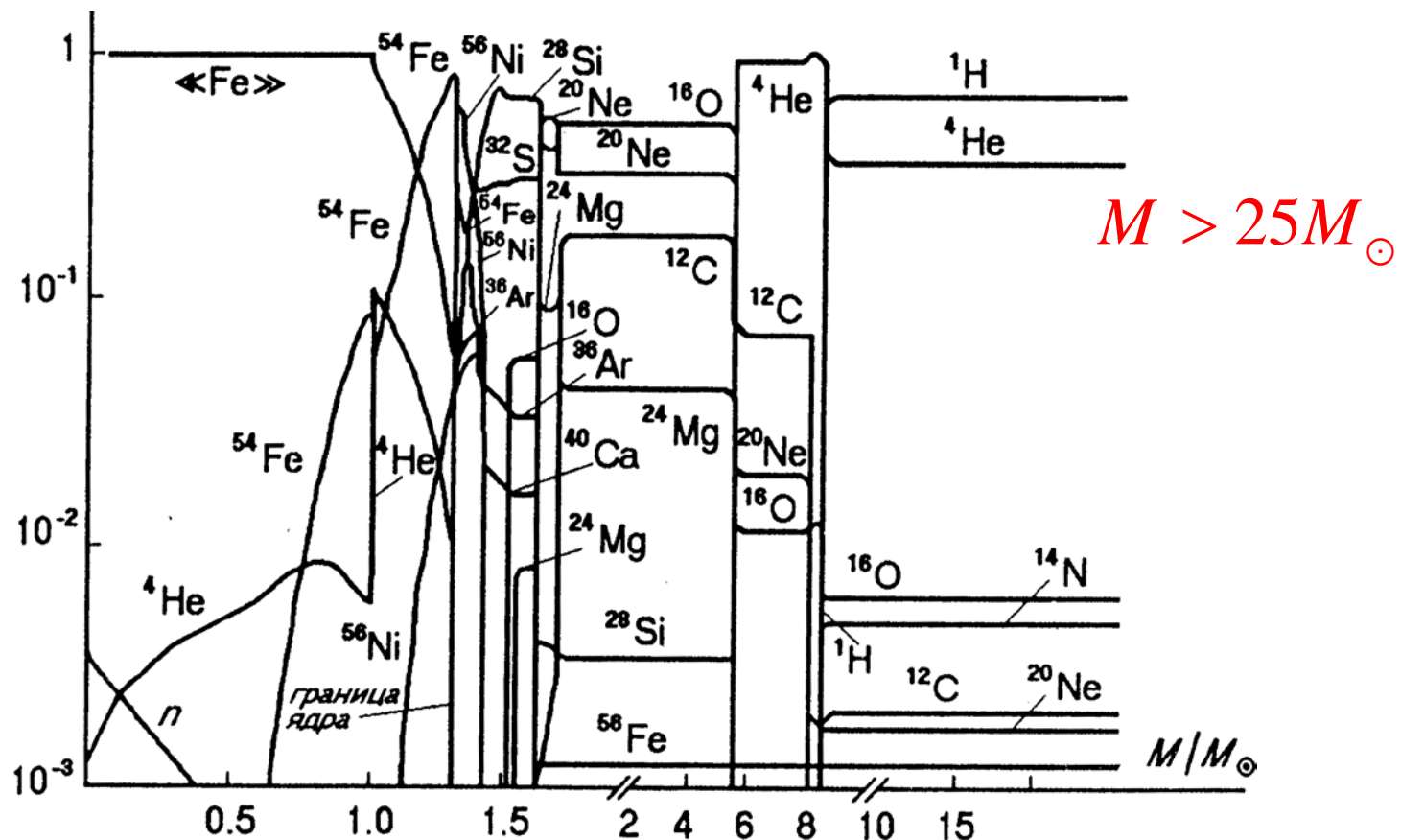
Эволюция массивной звезды $M > 25M_{\odot}$



Эволюция массивной звезды $M > 25M_{\odot}$



Содержание элементов в предсверхновой



Распределение элементов соответствует стадии предсверхновой, когда с фоторасщепления железа под действием γ -квантов начинается охлаждение и сжатие центральной части звезды с последующим взрывом сверхновой.

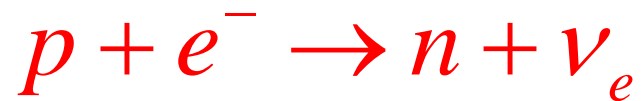
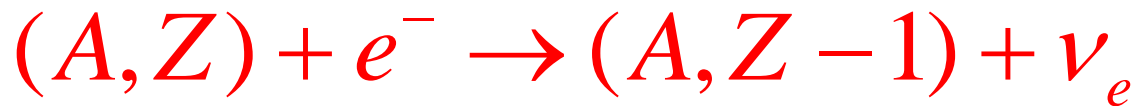
Фоторасщепление железа

При температуре $5 \cdot 10^9$ К существенную роль начинают играть реакции фоторасщепления железа на нейтроны, протоны и ядра гелия. Эти реакции протекают с поглощением энергии. Начинается охлаждение центральной части звезды.



Нейтронизация вещества

Наряду с процессом фоторасщепления железа существенную роль начинают играть процессы, происходящие в результате слабого взаимодействия, которые также приводят к охлаждению центральной части звезды. Энергию из центральной части звезды уносят **нейтрино**:



Происходит обогащение элементов центральной части звезды нейронами. Этот процесс называется нейтронизацией вещества.

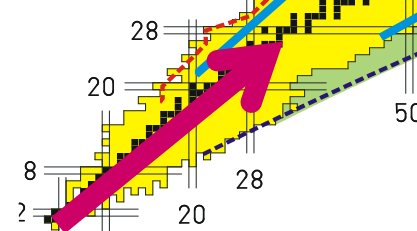
$t > \sim 10^9$ лет: Синтез тяжелых элементов

Реакции нуклеосинтеза

- Слияние
- n -захват, p -захват

rp – Process

Быстрый захват
протонов

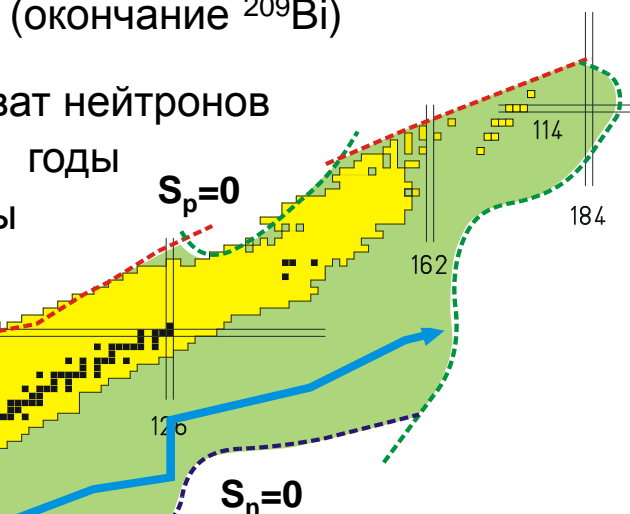


Синтез

- до $Z \sim 26$ (Fe)
(наибольшая удельная энергия связи)

s – Process (окончание ^{209}Bi)

- медленный захват нейтронов
- шкала времени: годы
- Красные гиганты

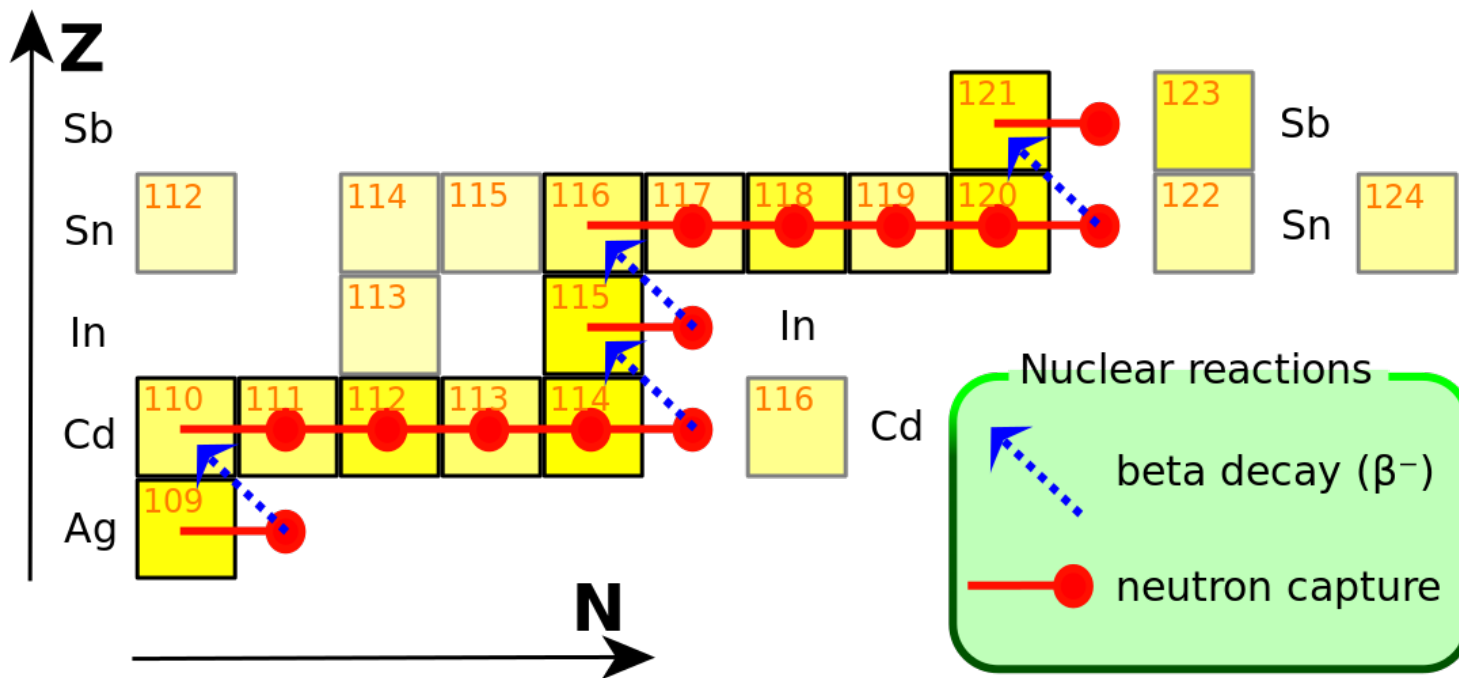


r – Process

- быстрый захват нейтронов
 - шкала времени: от мсек до сек
 - взрыв Сверхновой
 - $> 10^{20}$ нейtron/($\text{см}^2\text{с}$)
- окончание ($A \approx 270$?)

S (slow) – процесс

- медленный захват нейтронов
- шкала времени: годы
- Красные гиганты



Захват нейтронов:



β^- -распад:



$$\tau_{n\gamma} \gg \tau_\beta,$$

$\tau_{n\gamma}$ — время жизни ядра до захвата нейтрона.

Нейтроны для s - процесса

Подходящие условия для образования ядер в s-процессе существуют в красных гигантах. Источником нейтронов для s-процесса являются реакции



Для первой реакции требуются условия, при которых происходит совместное горение водорода и гелия. В качестве механизма, создающего такие условия, рассматривается соприкосновение конвективной оболочки звезды, в которой происходит горение гелия, с богатой водородом внешней оболочкой. Образование нейтронов происходит в следующей цепочке реакций:

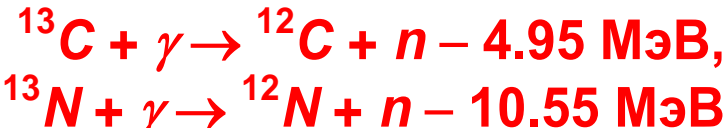


Реакция $^{13}\text{C} + \alpha \rightarrow ^{16}\text{O} + n$ эффективно происходит при $T > 10^8 \text{ К}$.

Образование нейтронов в реакции $^{22}\text{Ne} + \alpha \rightarrow ^{25}\text{Mg} + n$ ($Q = -0.48 \text{ МэВ}$) зависит от наличия ^{14}N в зоне горения гелия. Источником ядер ^{14}N является CNO-цикл.

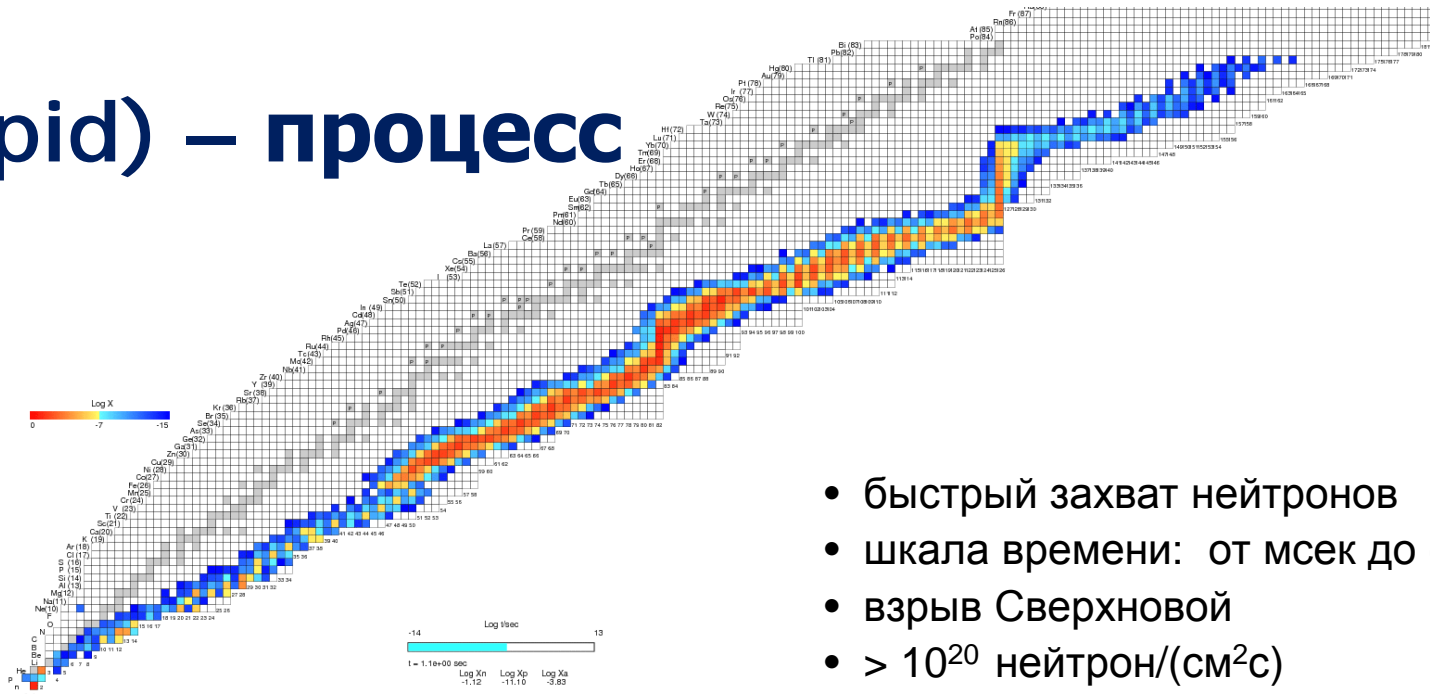


Ещё одним источником нейтронов с необходимой плотностью при $T \approx 10^8 \text{ К}$ могут быть фотонейтронные реакции:



Роль фотонейтронных реакций растет с увеличением температуры.

R (rapid) – процесс



- быстрый захват нейтронов
- шкала времени: от мсек до сек
- взрыв Сверхновой
- $> 10^{20}$ нейtron/(см²с)

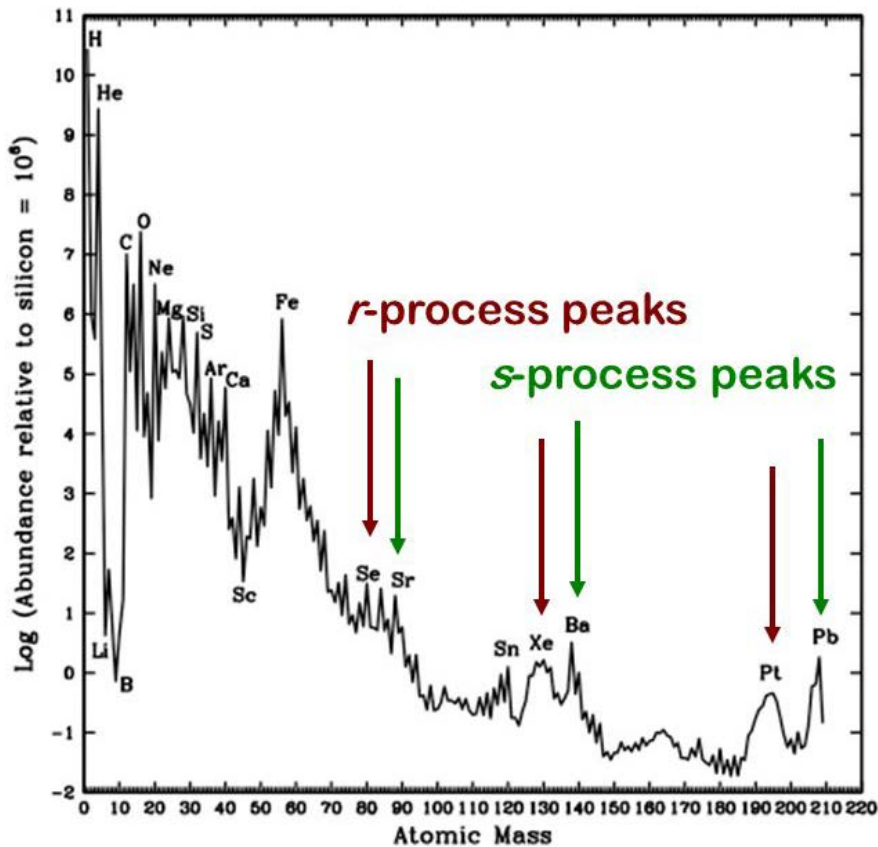
Когда плотность нейтронов ρ_n достигает значения $10^{19}\text{-}10^{20}$ см⁻³, время жизни ядра до захвата нейтрона τ_{ny} снижается до $\approx 10^{-3}$ с

$$1/\tau_{ny} = \rho_n \cdot v_n \cdot \sigma_{ny}$$

$$\tau_{ny} \ll \tau_\beta$$

Скорость захвата ядром нейтрона во много раз превышает скорость его β -распада. Ядро успевает захватить 10-20 нейтронов прежде чем испытает β -распад.

r - процесс



Пики s-процесса соответствуют стабильным ядрам с N = 50, 82, 126

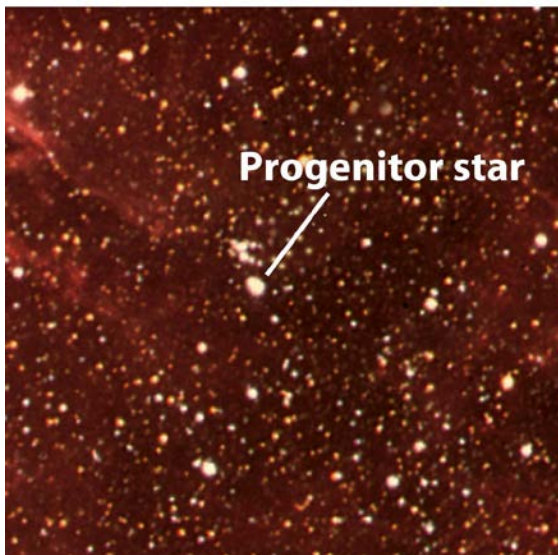
Пики r-процесса соответствуют нестабильным ядрам с N = 50, 82, 126

Необходимые для r -процесса плотности нейтронов возникают при взрывах Сверхновых. Расходящаяся ударная волна примерно за 0.5 с создаёт в оболочке горения гелия условия для интенсивного протекания реакции генерации нейтронов $^{22}\text{Ne}(\alpha, n)^{25}\text{Mg}$ и тем самым запускает r -процесс. Этот механизм образования элементов называют **взрывным нуклеосинтезом**. r -процесс может протекать и в насыщенных нейtronами ядрах Сверхновых. В этом случае вынос образованных элементов в поверхностные слои звезды, осуществляется за счёт разогретых нейтрино участков звезды.

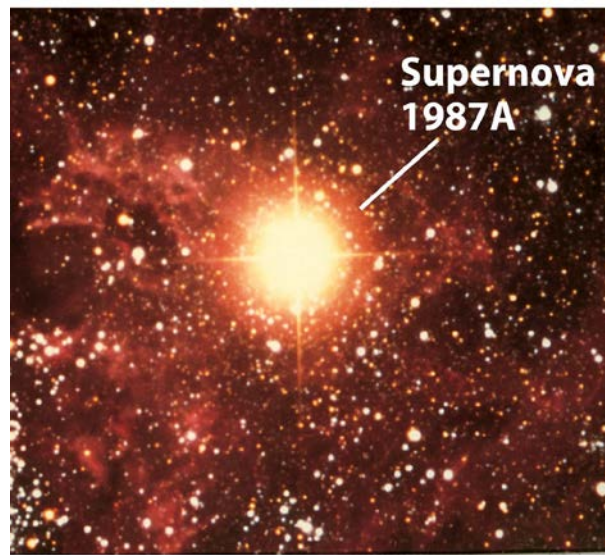
Конец для звезды с большой массой приходит,
когда она пытается превратить сердцевину Fe в более тяжелые элементы –
и тут оказывается, что это на это нужна энергия

КОЛЛАПС ЗВЕЗДЫ & ВЗРЫВ СВЕРХНОВОЙ

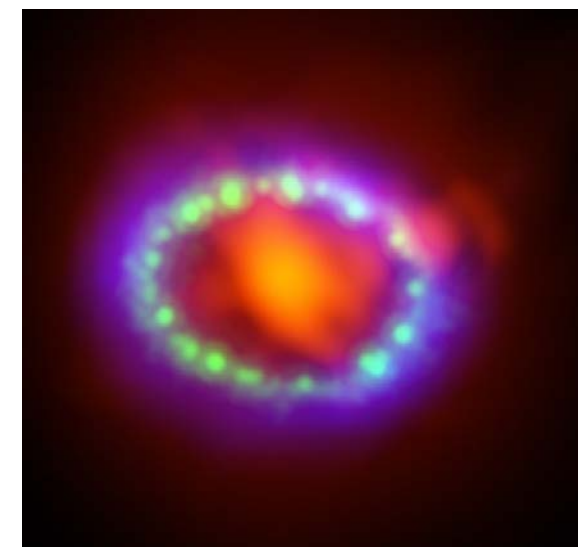
Большое Магелланово облако, туманность Тарантул



Голубой сверхгигант $M \approx 17M_{\text{Sun}}$

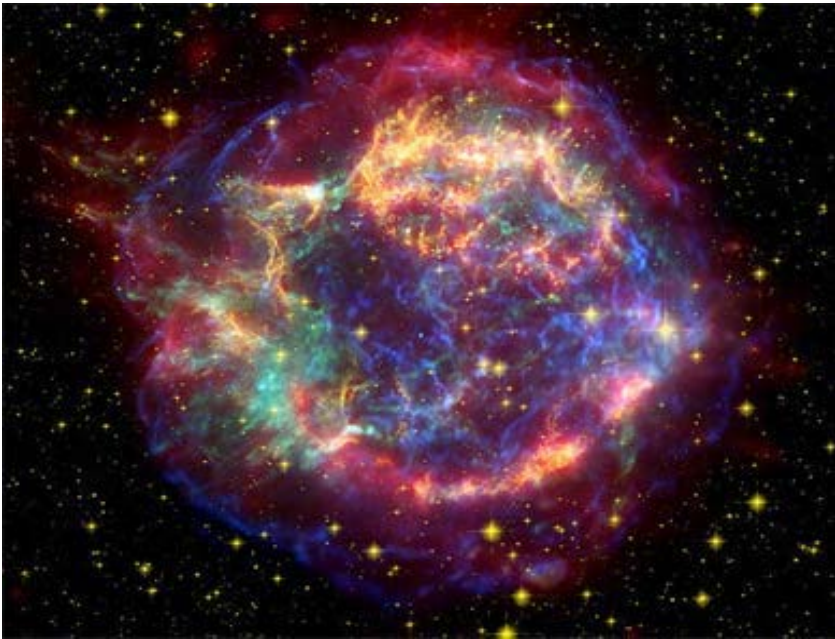


23.02.1987

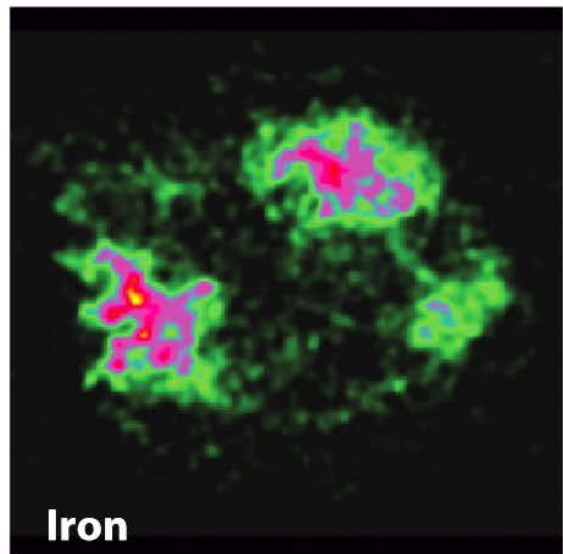
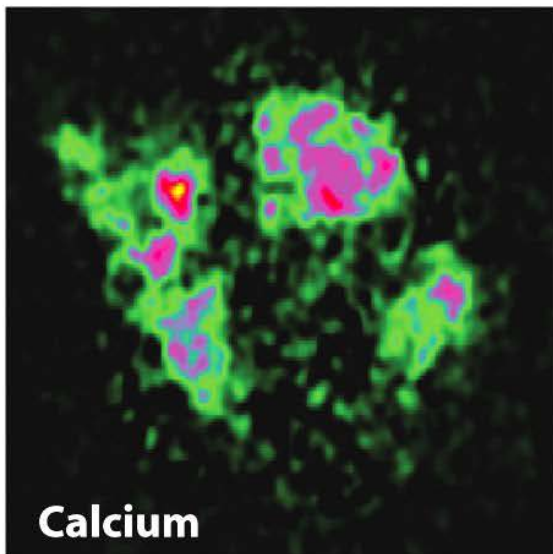
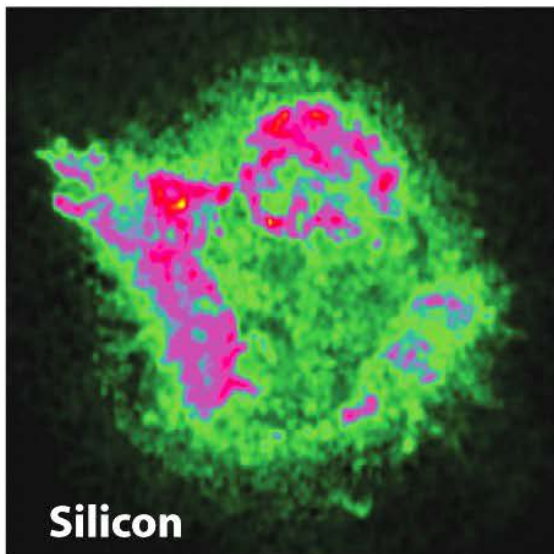


6.01.2014

Сверхновая

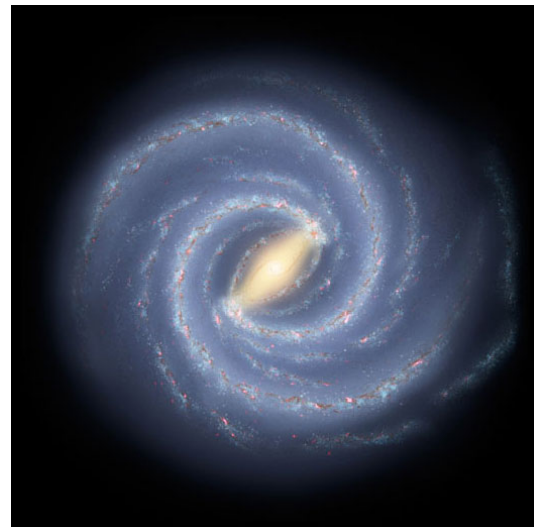


Инфракрасный снимок остатка вспышки сверхновой в созвездии Кассиопея, которая произошла приблизительно 50 лет назад. Это самый молодой остаток от взрыва Сверхновой, известный в нашей галактике.

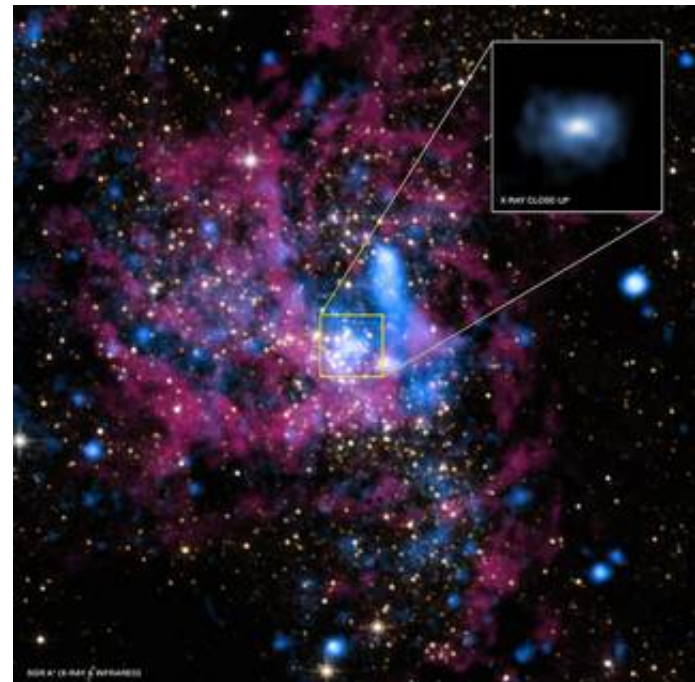


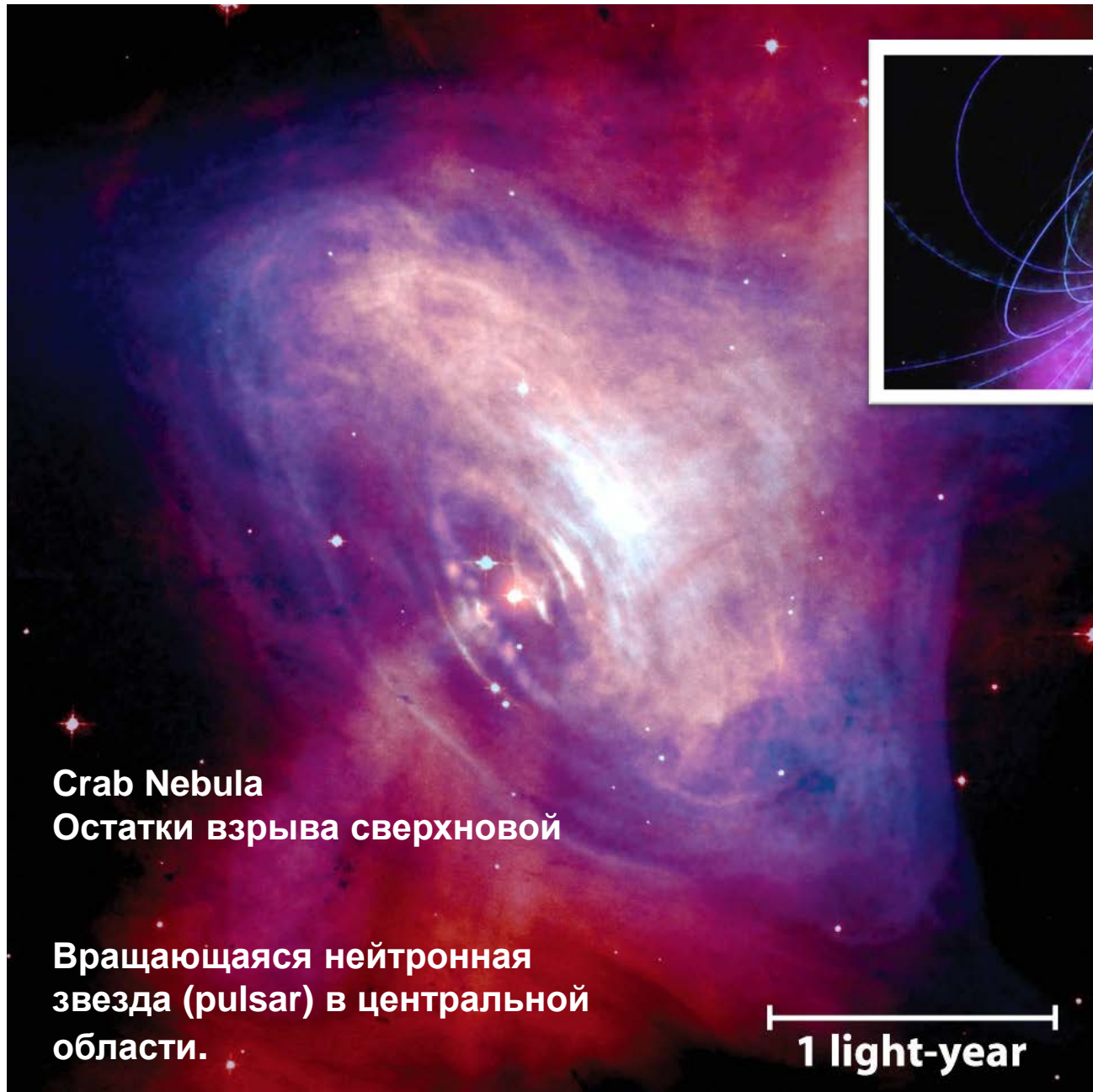
Конечные этапы эволюции звезд

Белый карлик	Нейтронная звезда	Черная дыра
$R = 5 \cdot 10^3$ км	$R \approx 10$ км	$R \approx 30$ км
Предел Чандraseкара $M < 1,4M_{\odot}$ Электронный газ	$1,4M_{\odot} < M < 3M_{\odot}$ Нейтронный газ	$M > 3M_{\odot}$
$\rho \sim 5$ тонн/см ³	$\rho = 10^9$ тонн/см ³	Горизонт событий $r_g = 2GM/c^2$



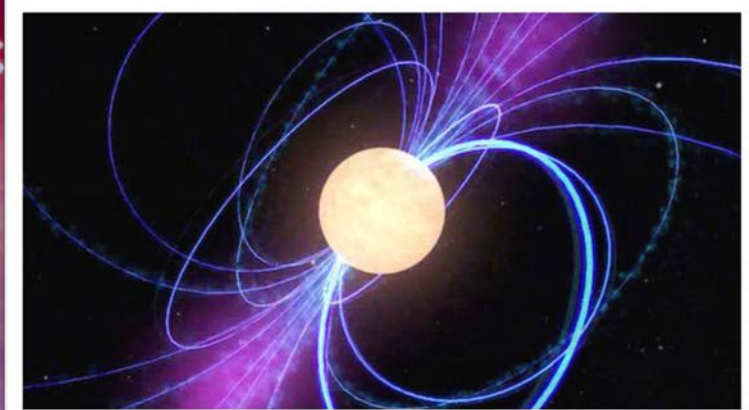
Черная дыра в центре
галактики Млечный путь





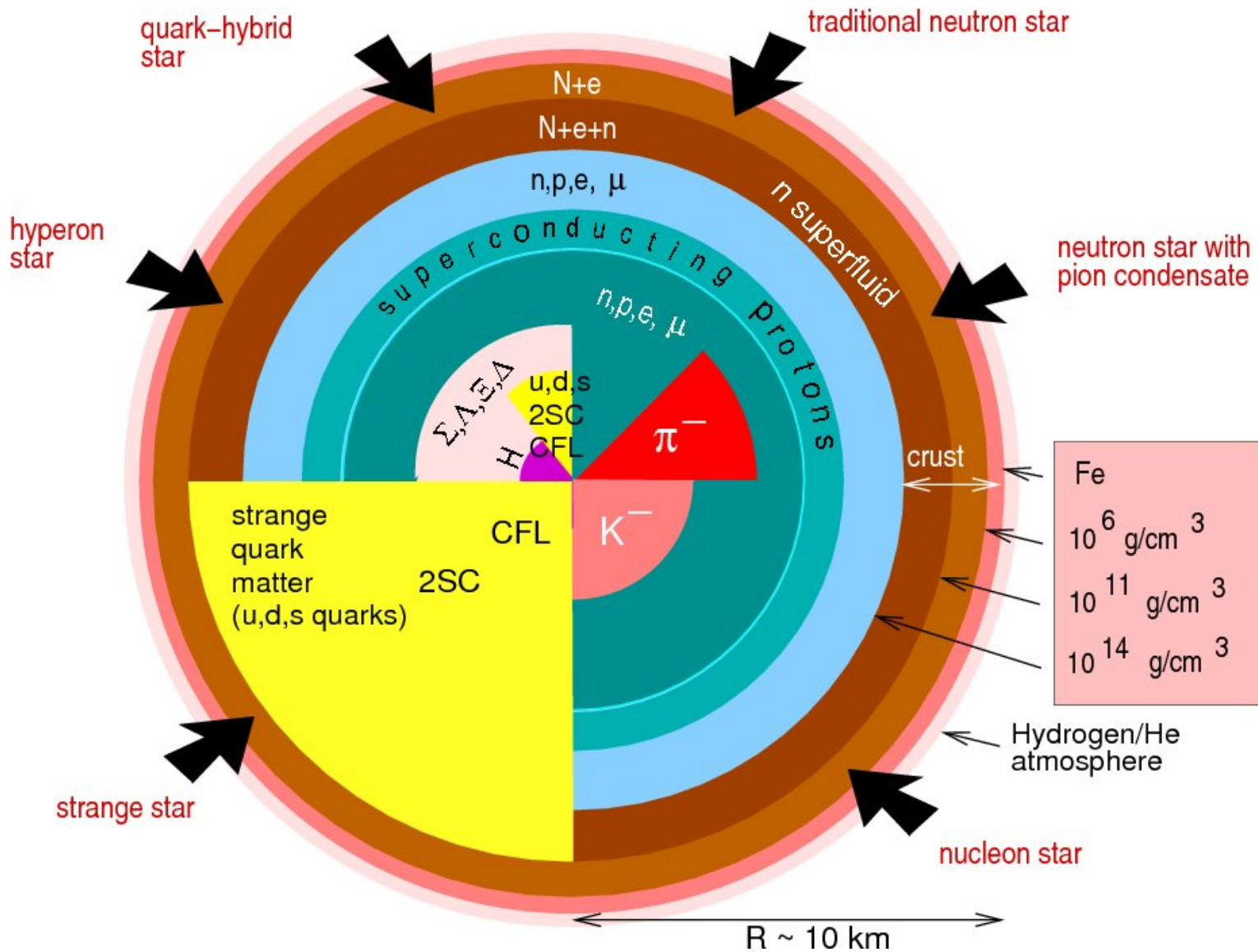
Crab Nebula
Остатки взрыва сверхновой

Вращающаяся нейтронная звезда (pulsar) в центральной области.



Сохранение углового момента и магнитного поля при коллапсе сверхновой и образовании нейтронной звезды приводит к рождению быстро вращающихся пульсаров с магнитным полем $\sim 10^{10}\text{-}10^{14}$ Гс

Нейтронная звезда



H																																			He
	1																																		2
Li	3	Be	4																																
Na	11	Mg	12																																
K	19	Ca	Sc	Ti	V	Cr	Mn	Fe	Co	Ni	Cu	Zn	Ga	Ge	As	Se	Br	Kr																	
Rb	37	Sr	Y	Zr	Nb	Mo	Tc	Ru	Rh	Pd	Ag	Cd	In	Sn	Sb	Te	I	Xe																	
Cs	55	56	57	72	73	74	75	76	77	78	79	80	81	82	83	84	85	86																	
Fr	87	Ra	Ac	Rf	Db	Sg	Bh	Hs	Mt	--	--	--	--	--	--	--	--	--																	

58	59	60	61	62	63	64	65	66	67	68	69	70	71																		
Ce	Pr	Nd	Pm	Sm	Eu	Gd	Tb	Dy	Ho	Er	Tm	Yb	Lu																		

■ – Большой Взрыв

■ - Малые звезды

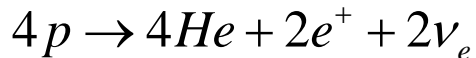
■ - Сверхновая

■ - Космические лучи

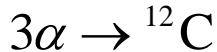
■ - Массивные звезды

Ядерные реакции в звездах

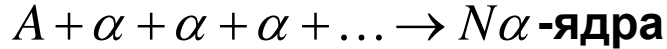
- Горение водорода. СНО-цикл



- Горение гелия.

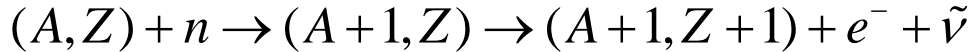


- α -процесс. Образование α -частичных ядер

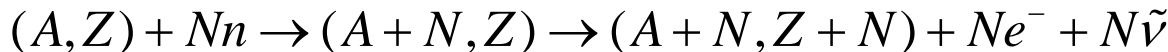


- Е-процесс. Образование ядер в районе железного максимума в условиях термодинамического равновесия.

- s-процесс. Захват нейтронов происходит медленнее (slow), чем β -распад в последовательности процессов



- r-процесс. . Захват нейтронов происходит быстрее (rapid), чем β -распад в последовательности процессов



- p-процесс. Реакции образования лёгких изотопов химического элемента в реакциях (p, n) (p, γ) (γ, n) $(\gamma, 2n)$

- x-процесс. Реакции под действием космических лучей.

Образование изотопов Li, Be, B.